

**OSTRACOBERYX PAXTONI, NOUVELLE ESPÈCE
DES CÔTES EST DE L'AUSTRALIE. REMARQUES
SUR LES MODIFICATIONS MORPHOLOGIQUES DES
OSTRACOBERYX AU COURS DE LEUR CROISSANCE
(PERCIFORMES, OSTRACOBERYCIDAE)**

par

Jean-Claude QUÉRO (1) et Catherine OZOUF-COSTAZ (2)

RÉSUMÉ. - Une nouvelle espèce d'*Ostracoberyx*, *O. paxtoni*, est décrite des côtes est de l'Australie. Elle se distingue des autres espèces connues par un nombre plus faible de branchicténies sur la branche inférieure du premier arc branchial et par certains caractères morphométriques (hauteur du corps, largeur interorbitaire, etc.). De plus, il est mis en évidence que les jeunes d'*O. paxtoni* et d'*O. dorygenys* ont un aspect très différent de celui des adultes. Il en résulte qu'*O. tricornis* est considéré comme un synonyme junior de *O. dorygenys*.

ABSTRACT. - Description of *Ostracoberyx paxtoni* n. sp. (Perciformes, Ostracoberycidae) from eastern Australia. Notes on morphological changes occurring during growth.

A new species of *Ostracoberyx*, *O. paxtoni* n. sp. is described from eastern Australia. It is characterized by a lower number of gill rakers on the lower part of the gill arch and by differences in some morphometric characters (body depth, interorbital width, etc.). The marked difference in appearance between young and adults in *O. paxtoni* as well as in *O. dorygenys* are underlined. *O. tricornis* is considered to be based on juvenile of *O. dorygenys* and is a junior synonym of the latter.

Mots-clés. - Ostracoberycidae, *Ostracoberyx paxtoni*, *Ostracoberyx dorygenys*, ISE, Australia, Morphological changes, New species.

Les poissons du genre *Ostracoberyx*, décrits comme étant des Berycoidei (Fowler, 1934), ont d'abord été placés dans les Beryciformes (Berg, 1940), puis, suite aux travaux de Norman (1939), dans les Perciformes. Dans cet ordre, on les range soit dans les Serranidae (Norman, 1939; Katayama, 1960; Norman, 1966; Lindberg, 1971(1974); Paxton *et al.*, 1989) dans une sous-famille distincte, les Ostracoberycinae (Katayama, 1960; Paxton *et al.*, 1989) ou avec une position incertaine (Nelson, 1984), soit dans une famille monogénérique, les Ostracoberycidae (Golvan, 1962; Katayama, *in* Masuda *et al.*, 1984). Trois espèces d'*Ostracoberyx* ont été décrites: *O. dorygenys* Fowler, 1934 des Philippines, *O. fowleri* Matsubara, 1939 et *O. tricornis* Matsubara, 1939 du Japon.

Poursuivant l'étude conjointe des poissons de l'île de La Réunion et de Madagascar, nous avons trouvé deux exemplaires d'*Ostracoberyx* dans les collections réunies de 1971 à 1975 par A. Crosnier, puis par A.L. Maugé, au cours des prospections du N.O. "Vauban" sur la pente continentale malgache. Afin de comparer ces exemplaires aux types et aux autres spécimens précédemment signalés,

(1) IFREMER-La Rochelle, Ichtyologie, Place du Séminaire, B.P. 7, 17137 L'Houmeau, FRANCE.

(2) Muséum national d'Histoire naturelle, Ichtyologie générale et appliquée, 43 rue Cuvier, 75231 Paris Cédex 05, FRANCE.

nous avons examiné les individus de la région de Zanzibar et des Maldives étudiés par Norman (1939), l'holotype et les paratypes d' *O. dorygenys* décrits des Philippines par Fowler (1934) et une vingtaine d'individus d'Australie que J.R. Paxton nous a confiés. L'examen de ce matériel met en évidence, d'une part, que les *Ostracoberyx* australiens appartiennent à une espèce nouvelle et, d'autre part, que les *Ostracoberyx* subissent au cours de leur croissance des modifications morphologiques très importantes.

Abréviations utilisées. - LS: longueur standard (mesurée du bout du museau à la base des rayons médians de la caudale); H. Corps: hauteur maximale du corps; T. Op.: longueur de la tête mesurée du bout du museau au bord postérieur de l'opercule; T.E. préop.: longueur de la tête mesurée du bout du museau à la pointe de l'épine préoperculaire; Pré Orb.: longueur du museau (mesurée du bout du museau au bord antérieur de l'orbite); Oeil: le plus grand diamètre; I. Orb.: largeur interorbitaire; Mx.: longueur du maxillaire; Pect.: longueur maximale des pectorales; V.: longueur maximale des pelviennes; Pré D.: longueur prédorsale (mesurée du bout du museau à l'origine de la nageoire dorsale); H.P.c.: hauteur minimale du pédoncule caudal; L.P.c.: longueur maximale du pédoncule caudal; D.1: première nageoire dorsale; D.2: deuxième nageoire dorsale; A.: nageoire anale; P.: nageoires pectorales; C.: nageoire caudale; Pré C.d.: rayons précaudaux dorsaux; Pré C.v.: rayons précaudaux ventraux; L. lat.: nombre d'écaillés sur la ligne latérale; Ec. trans. D.: nombre d'écaillés dans une rangée oblique entre l'origine de la dorsale, et postérieurement, la ligne latérale; Ec. trans. A.: nombre d'écaillés dans une rangée oblique entre l'origine de l'anale et, antérieurement, la ligne latérale; Brsp.: nombre de branchicténies sur le premier arc branchial; Vert.: nombre de vertèbres.

OSTRACOBERYX FOWLER, 1934

Ostracoberyx Fowler, 1934, *Proc. Acad. nat. Sci. Philad.*, 85: 353 (espèce-type: *O. dorygenys* Fowler, 1934, par monotypie).

Les *Ostracoberyx* sont des Perciformes caractérisés par la présence, à l'angle postéro-ventral du préopercule, d'une très forte épine se terminant postérieurement nettement en arrière de l'opercule; par le développement considérable des os de la tête, en particulier du lacrymal et du sous-orbitaire, os nettement visibles sans dissection; par la présence de deux nageoires dorsales; par la denture constituée de dents villiformes sur les mâchoires, le prévomere et les palatins; par les vertèbres au nombre de 25.

OSTRACOBERYX PAXTONI SP. N.

Ostracoberyx sp., Paxton *et al.*, 1989, *Zool. Catalogue Australia*, 7: 487 (Southern Queensland, New South Wales).

Matériel examiné

Holotype: AMS I. 21777001: 1 ex., 153 mm LS, "Kapala" (01 juin 1978) 28°06'S 153°58'E, 410 m (radiographie).

Paratypes: AMS I. 17864002: 1 ex., 88 mm LS, "Kapala" (01 nov. 1972) 34°01'S 152°31'E, 366-360 m. - AMS I. 19378002: 2 ex., 81 et 89,9 mm LS, "Kapala" (17 nov. 1976) 33°34'S 151°59'E, 494 m (radiographies). - AMS I. 20118005: 5 ex., 92 à 102 mm LS, "Kapala" (23 août 1977) 29°52'S 153°43'E, 512-502 m (radiographies). - AMS I. 21777001: 2 ex., 155 et 157 mm LS, "Kapala" (01 juin 1978) 28°06'S 153°58'E, 410 m (radiographies). - AMS I. 24561001: 1 ex., 83 mm LS, "Kapala" (03 mai 1979) 34°34'S 150°44'E, 457 m. - AMS I. 27683002: 5 ex., 91 à 116,3 mm LS, "Kapala" (01 déc. 1987) 34°15.5'S 151°28.5'E, 500-445 m. - AMS I. 29296001: 3 ex., 84,9 à 92,7 mm LS, "Kapala" (23 mai 1985) 34°48.5'S 151°12'E, 503 m (radiographies).

Diagnose

9 à 12 branchicténies développées sur la branche inférieure du premier arc branchial; 11 à 12, rarement 10, écailles dans une rangée oblique, entre l'origine de la nageoire dorsale et la ligne latérale; hauteur du corps comprise entre 43 et 51 % de LS.

Les jeunes (80 à 100 mm LS) ont une épine supraoccipitale recourbée vers l'avant et un espace interorbitaire compris entre 21 et 27 % de la longueur de la tête.

Description

Holotype (Fig. 1): corps ovale, comprimé, assez élevé, sa hauteur 2,2 fois dans LS. Pédoncule caudal 1,4 fois aussi haut que long. Bouche oblique, à maxillaire se terminant sous le quart antérieur de l'œil. Orbite de grande taille, à diamètre nettement supérieur à la longueur du museau (1,5 fois dans l'œil) et à l'espace interorbitaire (1,7 fois dans l'œil). Espace interorbitaire concave, presque aussi long que le museau. Lacrymal avec une forte épine courbe antéroventrale dirigée vers l'avant, suivie, sur son bord ventral, d'une plus petite puis d'une vingtaine de très petites épines. Préopercule avec, à son bord postéroventral, une très forte épine à peu près aussi longue que le diamètre de l'orbite et à bord ventral denticulé. Supraoccipital avec une légère bosse. Ecailles ne présentant que quelques rares épines sur leur bord postérieur. 55 écailles sur la ligne latérale. 12 écailles dans une rangée oblique entre l'origine de la dorsale et la ligne latérale, 25 dans une rangée oblique entre l'origine de l'anale et la ligne latérale. Première nageoire dorsale avec 9 rayons épineux, le plus grand étant le troisième, 3,3 fois plus long que le premier et 1,1 fois plus que le second. Seconde nageoire dorsale avec 9 rayons mous. Anale avec 3 épines et 7 rayons mous, ayant son origine sous la moitié postérieure de la seconde dorsale. Pectorales avec 15 rayons, plus courtes que la tête, comprises 2 fois dans la distance entre le bout du museau et l'extrémité postérieure de l'épine préoperculaire. Pelviennes 1,4 fois plus courtes que les pectorales. 15 branchicténies développées sur le premier arc branchial, 3 plus 4 atrophiées sur la branche supérieure, une à l'angle et 11 + 2 atrophiées sur la branche inférieure.

Corps (conservé dans l'alcool) brun-jaune grisâtre dorsalement, plus clair ventralement. Zones operculaire et branchiostégale bleu noir.

Paratypes: les *Ostracoberyx* de l'Australian Museum que nous avons examinés peuvent être séparés en deux groupes d'aspects différents. L'un d'eux

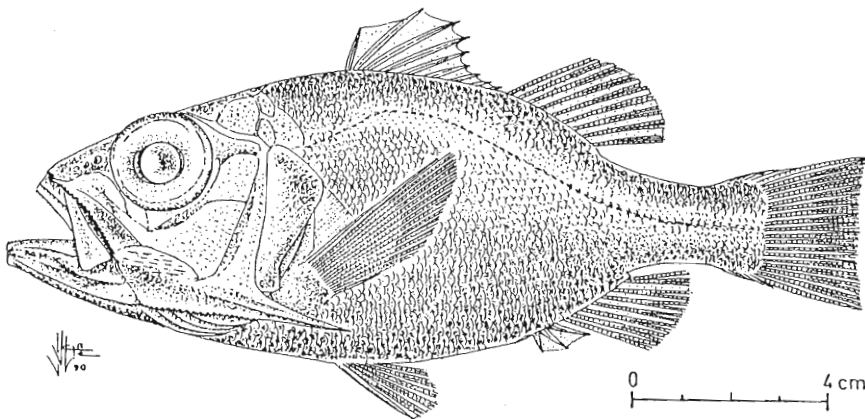


Fig. 1. - *Ostracoberyx paxtoni*, 153 mm LS; holotype, AMS I 21777001 (dessin de J.J. Vayne). [*Ostracoberyx paxtoni*, SL 153 mm; holotype, AMS I 21777001 (drawing by J.J. Vayne).]

réunit les exemplaires ressemblant à l'holotype. Ils mesurent de 99 à 157 mm LS. L'autre rassemble des poissons plus petits (81 à 102 mm LS) qui, à l'exemple d'*Ostracoberyx tricornis* Matsubara, 1939, possèdent un processus supraoccipital se présentant, chez les exemplaires australiens, comme une épine massive recourbée vers l'avant, à large base conique (Fig. 2). Ils possèdent également des processus osseux larges et fortement saillants sur les opercules, les sous-opercules, les lacrymaux et les supraorbitaires. De plus, leur corps est en moyenne plus élevé que chez les *Ostracoberyx* du premier groupe et leur zone interorbitaire beaucoup plus large et plane. Si l'on n'examine que certains exemplaires de chaque groupe on pourrait croire à l'existence de deux espèces très différentes. Pourtant il existe des individus présentant des caractères intermédiaires, ce qui nous incite à conclure que tous ces poissons appartiennent à la même espèce qui, au cours de sa croissance, vers 100 mm LS, subit des transformations morphologiques considérables.

Proportions du corps (en pourcentage de LS)

Exemplaires sans processus supraoccipital (99 à 157 mm LS; holotype et paratypes): H. Corps: 43,6-44,8; T. Op.: 39,5-43,1; T.E. préop.: 45,7-52,9; Pré Orb.: 11,9-12,9; Oeil: 13,6-22,0; I. Orb.: 9,7-16,6; Mx.: 18,1-19,6; Pect.: 24,5-27,6; V.: 16,4-19,9; Pré D.: 47,1-50,1; H. P. c.: 10,3-11,1; L. P. c.: 13,0-17,3.

Exemplaires avec processus supraoccipital (81 à 102 mm LS): H. corps: 43,9-51,2; T. Op.: 42,6-47,2; T.E. préop.: 49,5-57,3; Pré Orb.: 11,6-14,2; Oeil: 11,9-16,0; I. Orb.: 12,1-17,1; Mx.: 11,6-19,3; Pect.: 22,2-28,4; V.: 15,8-20,5; Pré D.: 47,8-52,7; H. P. c.: 10,5-16,4; L. P. c.: 13,6-18,7.

Les proportions du corps présentent parfois des écarts importants entre les valeurs extrêmes, particulièrement pour les exemplaires pourvus d'une épine supraoccipitale. En portant sur un graphique ces pourcentages en fonction des tailles pour la hauteur du corps (Fig. 3), la largeur interorbitaire (Fig. 4), le diamètre de l'orbite (Fig. 5), la longueur du maxillaire (Fig. 6), on constate que ces jeunes poissons sont en pleine transformation morphologique. En effet, entre 81 et 102 mm LS, leurs proportions varient considérablement mais régulièrement.

Caractères méristiques (Tableau I)

D.1: IX; D.2: 9-10; A.: III,7; P.: (14) 15-16; C.: 17 (8+7); Pré C. d.: 10-11; Pré C. v.: 9-11; L. lat.: 48-55 (58); Ec. trans. D.: (10) 11-12; E. trans. A.: 23-30; Brsp.: 14-19 (3-7+1+9-13); vert.: 25 (10+15).

Nous avons dénombré (3-4+1+10-12) branchicténies chez 4 exemplaires et (6-7+1+9-11) chez 3 autres. Toutefois nous n'avons pas observé d'autres différences morphologiques remarquables entre ces deux groupes d'*Ostracoberyx* australiens.

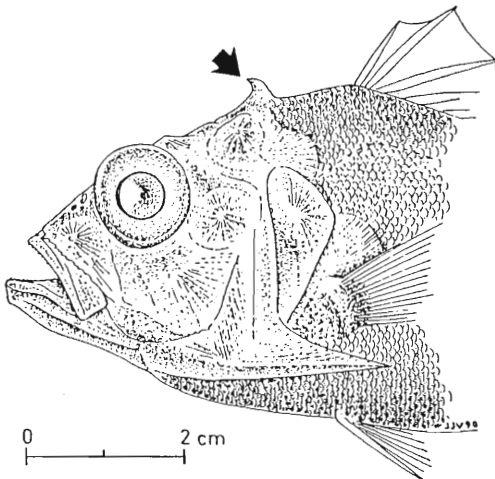


Fig. 2. - *Ostracoberyx paxtoni*, 86 mm LS; paratype, AMS I 29296001 (dessin de J.J. Vayne). [*Ostracoberyx paxtoni*, SL 86 mm; paratype, AMS I 29296001 (drawing by J.J. Vayne).]

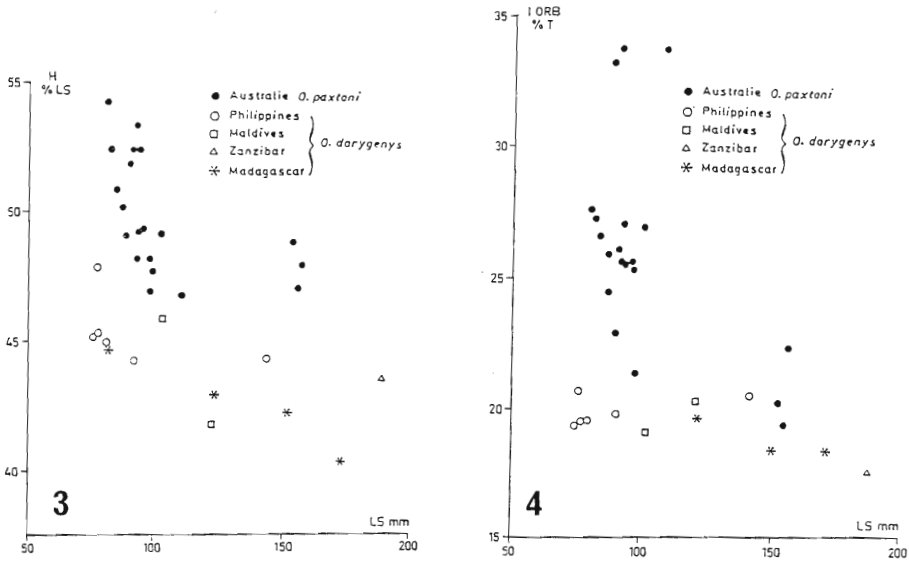


Fig. 3. - Hauteur du corps (en % de LS) de *O. paxtoni* et *O. dorygenys* au cours de leur croissance. [Body depth (% of SL) of *O. paxtoni* and *O. dorygenys* during growth.]

Fig. 4. - Largeur interorbitaire (en % de T.) de *O. paxtoni* et *O. dorygenys* au cours de leur croissance. [Interorbital width (% of T.) of *O. paxtoni* and *O. dorygenys* during growth.]

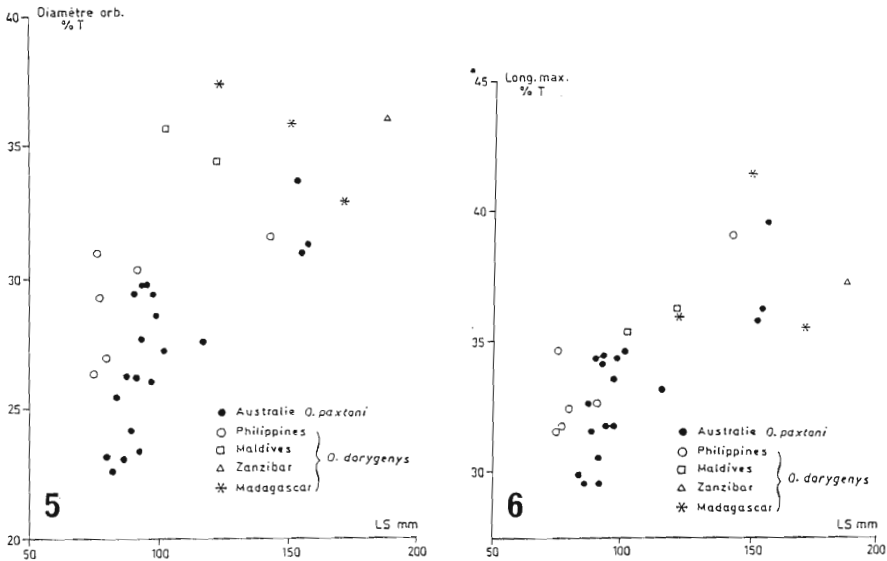


Fig. 5. - Diamètre de l'orbite (en % de T.) de *O. paxtoni* et *O. dorygenys* au cours de leur croissance. [Diameter of orbit (% of T.) of *O. paxtoni* and *O. dorygenys* during growth.]

Fig. 6. - Longueur du maxillaire (en % de T.) de *O. paxtoni* et *O. dorygenys* au cours de leur croissance. [Length of upper jaw (% of T.) of *O. paxtoni* and *O. dorygenys* during growth.]

OSTRACOBERYX DORYGENYS FOWLER, 1934

Ostracoberyx dorygenys Fowler, 1934. *Proc. Acad. nat. Sci. Philad.*, 85: 353-354, fig. 105 ("off northern Mindanao, in 226 fathoms"). Holotype (175 mm) USNM 093143, et 18 paratypes.

Ostracoberyx dorygenys: Norman, 1939: 58 (Zanzibar, 640 m; 1: 230 mm; Maldives, 494 m; 3: 125-150 mm). Kamohara, 1943: 132-133, fig. 2 ("from Mimase; 1: 83 mm). Kamohara, 1952: 23, fig. 21 (exemplaire précédent). Katayama, 1960: 39 (faune du Japon). Katayama, 1984 in Masuda *et al.*: 126, pl. 110-k (faune du Japon). Okamura *et al.*, 1985: 453, fig. 232 (région d'Okinawa, 400-435 m; 2: 85-103 mm).

Ostracoberyx tricornis Matsubara, 1939. *Bull. Jap. Soc. Sci. Fish.*, 8 (3): 125-128, fig. 2 ("off Heta, north-eastern Suruga Bay, 125 to 167 fathoms). Holotype (70 mm LS); Imp. Fisher. Inst., Fish. Spec. 6463 (détruit au cours de la seconde guerre mondiale).

Ostracoberyx tricornis: Kamohara, 1951: 2 ("at Mimase Market; 1: 83 mm). Kamohara, 1952: 23 (exemplaire précédent, 82 mm). Fourmanoir et Guézé, 1967: 56, fig. IIIb (large de Nosy-Bé; environ 12: 25 à 28 mm). Katayama, 1960: 38-39, pl. 30 (faune du Japon; description). Katayama, 1984 in Masuda *et al.*: 126, pl. 110-L (faune du Japon).

Matériel examiné

Madagascar: MNHN 1988-1437: 1 ex., 82 mm LS et MNHN 1988-1450: 1 ex., 123 mm LS, "Vauban" ch. 5 (5 mars 1971), 12°44,8'S 48°10,6'E, 570-563 m (radiographies). - AMS I 28116002: 2 ex., 151 et 172 mm LS, "Vitiaz" stat. 17-2601 (12 nov. 88), 12°28,4'S-48°06,7'E, 711-700 m (radiographies).

Zanzibar: BMNH 1939-5.24.823: 1 ex., 188 mm LS, "John Murray", stat. 109 (13 jan. 34), 5°10,4'S-39°33,5'E, 640 m.

Maldives: BMNH 1939-5.24.824: 1 ex., 122 mm LS, et BMNH 1939-5.24.825: 1 ex., 103 mm LS "John Murray", stat. 145 (1 avr. 34), 04°58,4'S-73°16,2'E, 494 m.

Philippines: USNM 093143: 1 ex., 143 mm LS (holotype), "Albatross", stat. D 5503, 08°36,3'N-124°36,1'E, 226 brasses (413 m) (radiographie). - USNM 093381: 5 ex., 76 à 92 mm LS (paratypes), "Albatross", stat. D 5292 (23.juil.1908), 13°28,4'N-121°01,1'E, 162 brasses (296 m) (radiographies).

Diagnose

15 à 17 branchicténies développées sur la branche inférieure du premier arc branchial; 6 à 9, rarement 10, écailles dans une rangée oblique de l'origine de la nageoire dorsale à la ligne latérale; hauteur du corps comprise entre 37 et 43 % dans LS.

Les jeunes (76 à 88 mm LS) ont une épine supraoccipitale conique qui, de profil, apparaît nettement dirigée vers l'arrière; leur espace interorbitaire est compris entre 19 et 21 % de la longueur de la tête.

Description

Proportions du corps (en pourcentage de LS)

Exemplaires sans processus lacrymaux (92 à 188 mm LS) (Fig. 7). H. corps: 37,2-42,8; T. op.: 37,8-42,7; T.E. préop.: 46,4-51,4; Pré Orb.: 8,2-12,8; Oeil: 15,2-18,4; I. Orb.: 8,5-10,5; Mx.: 16,3-19,9; Pect.: 24,6-29,4; V.: 15,8-21,0; Pré D.: 39,3-47,8; H. P. c.: 8,7-10,7; L. P. c.: 14,3-21,0.

Notons que quatre de ces proportions différent plus ou moins nettement de celles des grands exemplaires d'*O. paxtoni*. Il s'agit plus particulièrement de la hauteur du corps, représentant 37,2 à 42,8 % LS (contre 43,6 à 44,8 %), de la distance prédorsale 39,3 à 47,8 % LS (contre 47,1 à 50,1 %), de la hauteur du

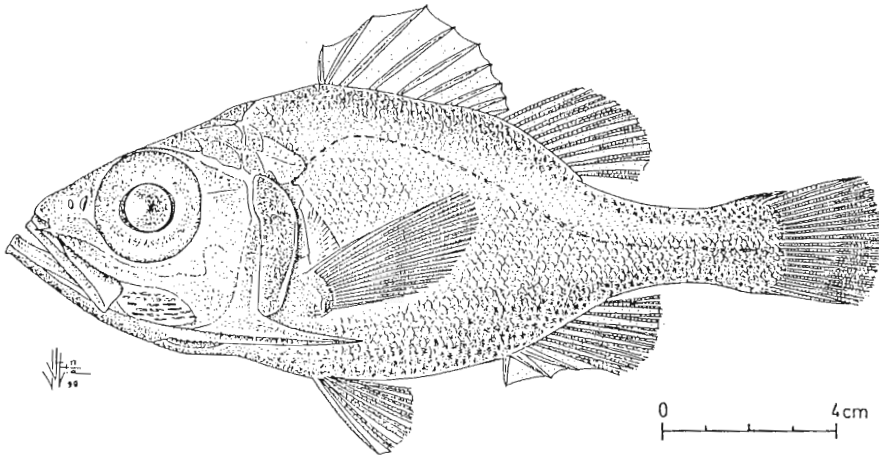


Fig. 7. - *Ostracoberyx dorygenys*, 172 mm LS; AMS I 28 116 002 (dessin de J.J. Vayne). [*Ostracoberyx dorygenys*, SL 172 mm; AMS I 28 116 002 (drawing by J.J. Vayne)].

pédoncule caudal 8,7 à 10,7 % LS (contre 10,3 à 11,1 %); de la distance interorbitaire 8,5 à 10,5 % LS (contre 9,7 à 16,6 %).

Exemplaires avec processus lacrymaux (76 à 81 mm LS) (Fig. 8). H. corps: 42,0-44,8; T. op.: 39,5-42,8; T.E. préop.: 50,2-54,3; Prè Orb.: 11,2-12,3; Oeil: 13,6-16,5; I. Orb.: 9,9-11,0; Mx.: 16,3-18,4; Pect.: 23,5-27,9; V.: 17,1-19,6; Prè D.: 45,7-49,3; H. P. c.: 15,7-19,7; L. P. c.: 15,7-19,7.

Ces quatre exemplaires, les plus petits de ceux que nous avons examinés pour *O. dorygenys*, sont des paratypes de l'espèce (USNM 093381). Deux d'entre eux présentent un processus supraoccipital mais, à la différence de *O. paxtoni*, l'épine est droite à légèrement penchée vers l'arrière (Fourmanoir et Guézé, 1967) (recourbée vers l'avant chez *O. paxtoni*). Les quatre spécimens possèdent un processus développé sur chaque lacrymal. Par rapport aux adultes leurs proportions présentent moins de différences que chez *O. paxtoni*. Elles sont toutefois sensibles pour la distance entre l'extrémité du museau et la pointe de l'épine préoperculaire (50,9 % LS chez l'individu de 81 mm, 52,6 à 54,3 % chez les plus petits, contre 46,4 à 50 %; 51,4 % chez un exemplaire de 103 mm LS des Maldives); pour la

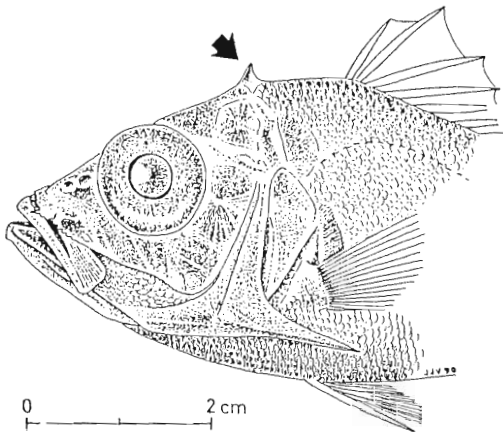


Fig. 8. - *Ostracoberyx dorygenys*, 76 mm LS; paratype, USNM 093381 (dessin de J.J. Vayne). [*Ostracoberyx dorygenys*, SL 76 mm; paratype, USNM 093381 (drawing by J.J. Vayne)].

distance interorbitaire (9,9 % LS chez celui de 81 mm LS, 10,2 à 11,0 % chez les 3 petits contre 8,5 à 10,5 mm % LS); enfin pour la hauteur du corps (42,0 à 44,8 % LS contre 37,2 à 42,8 %).

Les transformations morphologiques semblent moins importantes que chez *O. paxtoni*, ou tout au moins elles ont lieu à une taille plus faible. Cette hypothèse est fondée sur un dessin de Fourmanoir et Guézé (1967) d'un exemplaire de 27 mm LS (d'après le texte et non 27 cm comme indiqué dans la légende). Le processus supraoccipital est alors considérablement développé (Fig. 9). Toutefois, à taille égale, les différences d'aspect entre *O. dorygenys* et *O. paxtoni* sont nettement plus sensibles chez les juvéniles que chez les adultes.

Caractères méristiques (Tableau I)

D.1: IX; D.2: 9 (10); A.: III,7; P.: 14-15; C.: 17 (8+5); Pré C. d.: 10-11; Pré C. v.: 9-10; L. lat.: 48-55; Ec. trans. D.: 7-9 (10); Ec. trans. A.: 19-24; Brsp.: (6-8+1+15-17) 23-25; Vert.: 25 (10+15).

Discussion

Avec 9 à 13 branchicténies développées sur la branche inférieure du premier arc branchial, *O. paxtoni* diffère de *O. dorygenys* qui en présente 15 à 17. *O. paxtoni* diffère également des deux espèces décrites par Matsubara (1939), *O. fowleri* (8+18 branchicténies) et *O. tricornis* (6-8+16 branchicténies), d'après Katayama, in Masuda *et al.*, 1984 dont les types ont été détruits au cours de la seconde guerre mondiale (Nakamura, comm. pers.).

D'après Matsubara (1939), *O. tricornis* diffère d'*O. dorygenys* par :

- un espace interorbitaire plat (concave chez *O. dorygenys*). L'holotype d'*O. dorygenys* et les autres grands spécimens ont bien un espace interorbitaire concave. En revanche, les paratypes d'*O. dorygenys* de petite taille ont un espace interorbitaire plat à convexe.

- trois épines sur le bord antérolatéral de l'os préorbitaire (lacrymal); (une chez *O. dorygenys*). Les paratypes d'*O. dorygenys* présentent, sur leur lacrymal, un processus saillant ayant chez certains l'aspect d'une véritable épine. Sur l'un des exemplaires, l'épine antérieure suivie d'une autre constituent, avec le processus lacrymal, trois fortes épines antérolatérales (trois sur le côté droit, deux sur le côté gauche sur un autre exemplaire, Kamohara, 1951).

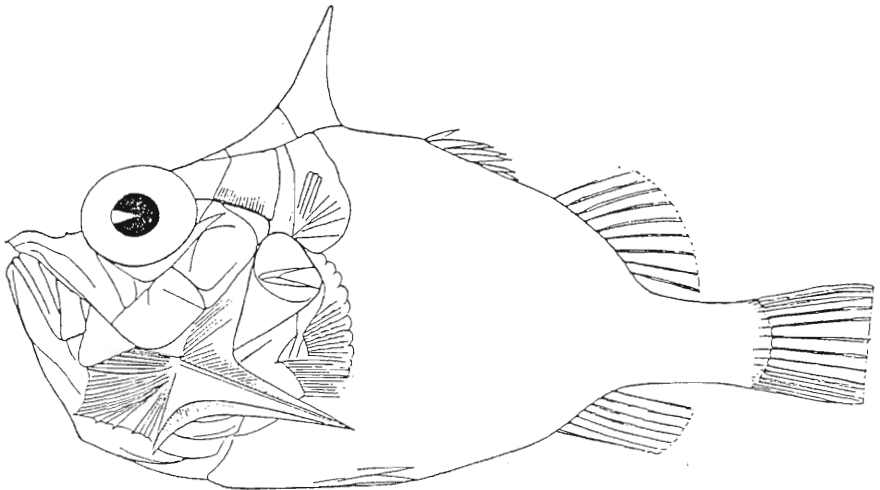


Fig. 9. - *Ostracoberyx dorygenys*, 27 mm LS (d'après Fourmanoir et Guézé, 1967). [*Ostracoberyx dorygenys*, SL 27 mm (drawing from Fourmanoir and Guézé, 1967).]

Caractères méristiques	Valeur	Ostracoberyx	Ostracoberyx	Ostracoberyx
		paxtoni	dorygenys	fowleri
D1 (radio)	IX	10	11	1
D2 (radio)	9	9	10	1
	10	1	1	
A (radio)	III,7	10	11	1
P	14/14		4	1
	14/15	1	1	
	15/15	12	7	
	15/16	2		
	16/16	2		
L. lat.	47			1
	48	1	1	
	49			
	50	4		
	51	1	5	
	52	7	4	
	53			
	54	2	2	
	55	1	1	
	56			
57				
58	1			
Ec. trans. D1	7		6	
	8		4	1
	9		2	
	10	1	1	
	11	7		
	12	10		
Ec. trans. A.	19		1	
	20		1	1
	21		3	
	22		4	
	23	1	2	
	24	1	1	
	25	1		
	26	2		
	27			
	28	2		
	29	1		
30	1			

Tableau I. - Caractères méristiques des *Ostracoberyx paxtoni* et *O. dorygenys* étudiés et d'*O. fowleri* (d'après Matsubara, 1939). [*Meristic characters of study material of Ostracoberyx paxtoni and O. dorygenys and of O. fowleri (from Matsubara, 1939).*]

- une forte épine supraoccipitale qui, comme nous l'avons vu, disparaît chez l'adulte. Crochue sur le dessin de Matsubara, cette épine a en fait un aspect très voisin de celle des paratypes d'*O. dorygenys*, la forte concavité postérieure de son profil lui donnant cet aspect crochu.

- une nageoire caudale concave. Si chez l'holotype la caudale semble arrondie, elle est tronquée à concave chez les autres exemplaires y compris les adultes.

- un pédoncule caudal élancé. Le pédoncule caudal de l'holotype de *O. dorygenys* est moins trapu qu'il n'est représenté sur la figure de Fowler (1934). De plus, celui des paratypes est plus élancé que celui de l'holotype.

Il en résulte que les critères utilisés pour différencier *O. tricornis* Matsubara, 1939 de *O. dorygenys* Fowler, 1934, sont des caractères de juvéniles. Nous pensons que *O. tricornis* est un synonyme junior de *O. dorygenys*.

O. fowleri n'est connu que par son holotype actuellement disparu. D'après la description et la figure donnée par Matsubara (1939), le bord postérieur de l'opercule présente trois épines assez fortes. Les opercules des *O. dorygenys* et *O. paxtoni* observés en sont totalement dépourvus. Katayama, in Masuda *et al.*, 1984, signale comme autre différence entre *O. fowleri* et *O. dorygenys*, la plus petite taille des deux premiers rayons de la dorsale, inférieure à la moitié de la longueur du troisième, chez la première espèce. Or ce caractère semble trop variable sur le matériel examiné pour être retenu.

Distribution

Tous les exemplaires d' *O. paxtoni* proviennent de l'est de l'Australie (Fig. 10) où ils ont été capturés entre 360 et 512 m, dans la zone climatique des eaux tempérées chaudes de l'hémisphère sud.

O. dorygenys est connu du nord de l'océan Indien et du centre ouest du Pacifique entre le nord de Madagascar et le sud du Japon. Il a été pêché entre 256 m et 711 m dans la zone climatique des eaux tropicales et tempérées chaudes de l'hémisphère nord.

CLÉ DES OSTRACOBERYX

- 1a. Opercule avec 3 épines sur son bord postérieur. Taille 80 mm LS. Sud du Japon *Ostracoberyx fowleri* Matsubara, 1939
- 1b. Opercule sans épines 2
- 2a. 9 à 13 branchicténies développées sur la branche inférieure du premier arc branchial. Juvéniles à épine supraoccipitale nettement recourbée vers l'avant. Taille 157 mm LS. Est de l'Australie *Ostracoberyx paxtoni* sp.n.
- 2b. 15 à 17 branchicténies développées sur la branche inférieure du premier arc branchial. Juvéniles à épine supraoccipitale droite à recourbée vers l'arrière. Taille 188 mm LS. Nord de Madagascar, Zanzibar, Maldives, Philippines, sud du Japon *Ostracoberyx dorygenys* Fowler, 1934

Remerciements. - Nous tenons à remercier Jean-Jacques Vayne de l'IFREMER-La Rochelle, pour l'illustration, Marie-Pierre Lussier et Evelyne Travers de l'IFREMER-La Rochelle pour la préparation du manuscrit, John Paxton de l'Australian Museum, Sydney, Nigel Merrett et Gordon Howes du natural History Museum, Londres, Izumi Nakamura de l'Université de Kyoto, Victor Springer et Susan Jewett du National Museum of Natural History, Washington qui nous ont prêté le matériel étudié.

Nous avons dédié la nouvelle espèce d'*Ostracoberyx* à J.R. Paxton qui nous a envoyé une partie du matériel décrit.

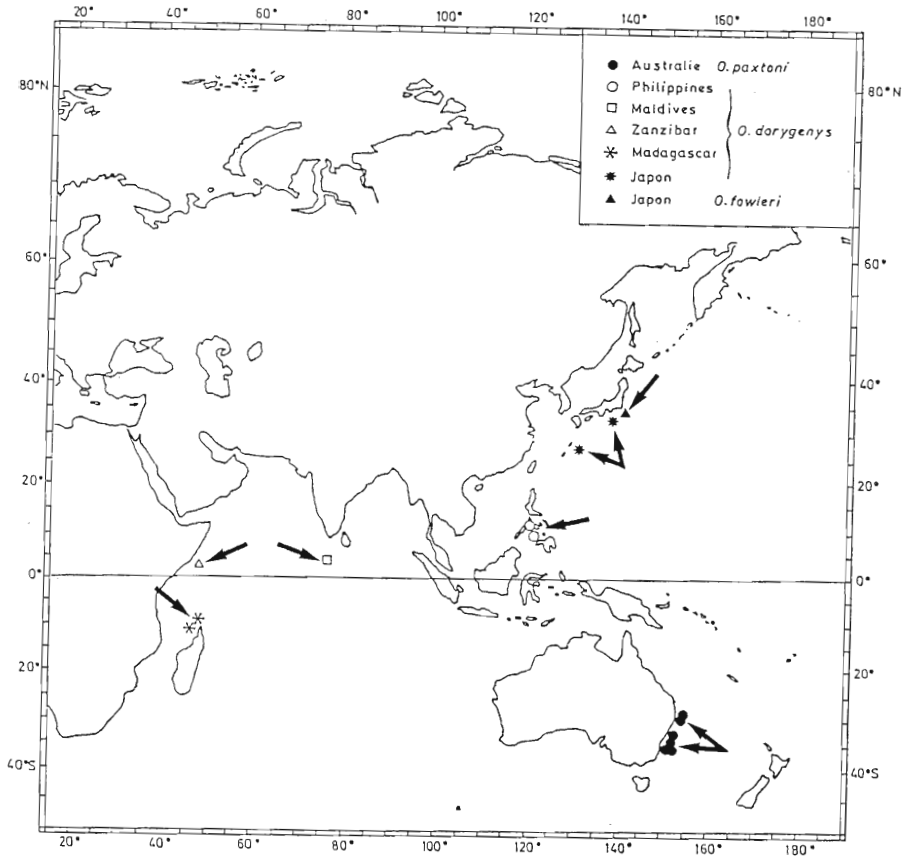


Fig. 10. - Distribution des espèces du genre *Ostracoberyx*. [*Distribution of Ostracoberyx.*]

RÉFÉRENCES

- BERG L.S., 1949. - (Classification of Fishes both recent and fossil). *Trudy Zool. Inst. Leningr.*, 5(2): 87-517 (en russe).
- FOURMANOIR P. & P. GUEZE, 1967. - Poissons nouveaux ou peu connus provenant de La Réunion et de Madagascar. *Cah. ORSTOM, Océanogr.*, 5(1): 47-58.
- FOWLER H.W., 1934. - Description of new fishes obtained from 1907 to 1910, chiefly in the Philippine Islands and adjacent seas. *Proc. Acad. nat. Sci. Philad.*, 85: 233-367.
- GOLVAN Y.J., 1962. - Catalogue systématique des noms de genres de poissons actuels de la Xe édition du "Systema naturae" de Charles Linné jusqu'à la fin de l'année 1959. *Ann. Parasit. hum. comp.*, 37(6 bis), fasc. suppl.: 1-227.
- KAMOHARA T., 1943. - Some unrecorded and two new fishes from Prov. Tosa, Japan. *Bull. biogeogr. Soc. Japan*, 13(17): 125-137, 2 figs.
- KAMOHARA T., 1951. - Notes on some rare fishes from Prov. Tosa, Japan. *Rep. Kōchi Univ. Nat. Sci. Japan*, (1): 1-8, 2 pls.
- KAMOHARA T., 1952. - Revised descriptions of the offshore bottom-fishes of Prov. Tosa, Shikoku, Japan. *Rep. Kōchi Univ. Nat. Sci., Japan* (3): 1-122.
- KATAYAMA M., 1960. - Fauna Japonica, Serranidae (Pisces). Tokyo News Service, Ltd., Tokyo: VII + 189 pp., 86 pls.

- LINDBERG G.U., 1971. - (Families of the fishes of the world; a checklist and a key) Leningrad, Zoological Institute, Akademii Nauk SSSR: 472 pp. (en russe); 1974. - Fishes of the World. A key to families and a checklist, J. Wiley & Sons, New York (traduction anglaise).
- LINDBERG G.U. & Z.V. KRASYUKOVA, 1971. - Fishes of the sea of Japan and the adjacent areas of the sea of Okhotsk and the Yellow sea. Israel Program Scient. Transl. Jerusalem: 498 pp.
- MASUDA H., AMAOKA K., ARAGA C., UYENO T. & T. YOSHINO, 1984. - The Fishes of the Japanese Archipelago. Tokai Univ. Press, 2 Vol., Text: XXII+437 pp., & plate: 370 pl.
- MATSUBARA K., 1939. - Studies on the deep-sea fishes of Japan. XII. On two new berycoid fishes belonging to Ostracoberycidae from Suruga Bay. *Bull. Jap. Soc. Sci. Fish.*, 8(3): 121-128.
- NELSON J.S., 1984. - Fishes of the World, 2nd edition, John Wiley and sons, IX + 523 pp.
- NORMAN J.R., 1939. - Fishes. *Sci. Rep. John Murray Exped., Lond.*, 7(1): 116 pp.
- OKAMURA O., MACHIDA Y., YAMAKAWA T., MATSUURA K. & T. YATOU, 1985. - Fishes of the Okinawa trough and the adjacent waters. *Jap. Fisher. Res. Cons. Assoc.* (Okamuva, ed.), 2: 417-783.
- PAXTON J.R., HOESE D.F., ALLEN G.R. & J.E. HANLEY, 1989. - Zoological catalogue of Australia. Vol. 7. Pisces. Petromyzontidae to Carangidae. Austral. Government Publ. Serv., Canberra: XII + 665 pp.

Reçu le 20.12.1990.

Accepté pour publication le 19.02.1991.